УДК 539.35

АСИМПТОТИЧЕСКИЙ МЕТОД РЕШЕНИЯ ДИНАМИЧЕСКИХ ЗАДАЧ УПРУГОСТИ¹

© 2004 А.Г. Жигалин²

В статье предлагается асимптотический метод решения динамических задач теории упругости. В качестве примера рассмотрена нестационарная задача для пологой цилиндрической оболочки. Данный метод, по сравнению с известными численными процедурами, позволяет существенно снизить время счета, особенно при определении динамической реакции оболочек малой толщины.

1. Постановка задачи

Рассмотрим однородную цилиндрическую оболочку радиуса R и длины l, изготовленную из изотропного материала. Направим ось z правой декартовой системы координат по внутренней нормали к срединной поверхности, а оси x и y— по касательным к линиям кривизны оболочки (рис. 1). Будем предполагать, что к торцу оболочки с координатой x=0 приложена равномерно распределенная ударная нагрузка. Допустим также, что второй торец (x=l) свободен. Перемещения торцов, возникающие в процессе распространения возмущений по оболочке, будем считать малыми по сравнению с ее длиной. Ограничим рассмотрение динамического процесса таким временным интервалом, на протяжении которого волна возмущений не успевает достичь свободного торца оболочки.

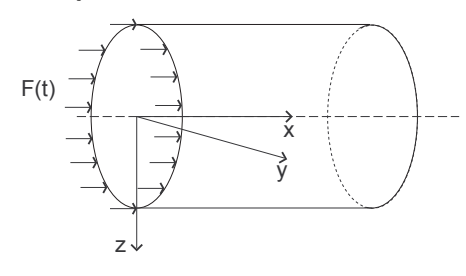


Рис. 1. Цилиндрическая оболочка

Принимая во внимание ударный нагрузки характер динамические И эффекты в оболочке, вызванные этим ударом, качестве математической модели описанной задачи представляется целесообразным использовать оболочечную модель второго приближения, также известную в литературе как модель Миндлина—Тимошенко. В этой модели принята гипотеза о том,

что нормаль к срединной поверхности оболочки после деформации не

 $^{^{1}}$ Представлена доктором физико-математических наук профессором Ю.Н. Радаевым.

²Жигалин Александр Григорьевич, кафедра математического моделирования в механике Самарского государственного университета, 443011, Россия, г. Самара, ул. Акад. Павлова, 1.

искривляется и сохраняет свою длину, хотя, в отличие от теории Кирхгофа—Лява, не обязательно остается нормальной к срединной поверхности. Кроме того, в модели Миндлина—Тимошенко учитываются сдвиговые деформации и инерция вращения элементов оболочки.

Система уравнений типа Тимошенко в общем случае имеет следующий вид [2, стр. 42]:

$$\begin{cases} \frac{\partial N_x}{\partial x} + \frac{\partial T}{\partial y} + p_x - \rho h \frac{\partial^2 u}{\partial t^2} = 0, \\ \frac{\partial T}{\partial x} + \frac{\partial N_y}{\partial y} + p_y - \rho h \frac{\partial^2 v}{\partial t^2} = 0, \\ \frac{\partial Q_x}{\partial x} + \frac{\partial Q_y}{\partial y} + k_x N_x + k_y N_y + \frac{\partial}{\partial x} \left(N_x \frac{\partial w}{\partial x} + T \frac{\partial w}{\partial y} \right) + \\ + \frac{\partial}{\partial y} \left(T \frac{\partial w}{\partial x} + N_y \frac{\partial w}{\partial y} \right) + q - \rho h \frac{\partial^2 w}{\partial t^2} = 0, \\ \frac{\partial M_x}{\partial x} + \frac{\partial H}{\partial y} - Q_x - \rho \frac{h^3}{12} \frac{\partial^2 \psi_x}{\partial t^2} = 0, \\ \frac{\partial H}{\partial x} + \frac{\partial M_y}{\partial y} - Q_y - \rho \frac{h^3}{12} \frac{\partial^2 \psi_y}{\partial t^2} = 0. \end{cases}$$

$$(1)$$

Здесь N_x , N_y — нормальные усилия в срединной поверхности оболочки по направлениям x и y соответственно; T— касательное усилие; Q_x , Q_y — поперечные усилия; M_x , M_y — изгибающие моменты; H— крутящий момент; p_x , p_y , q— интенсивности внешних нагрузок по направлениям x, y, z; u и v— перемещения по направлениям x и y; w— прогиб в направлении внутренней нормали к срединной поверхности, ψ_x , ψ_y — углы поворота нормали. Кроме того, k_x , k_y — главные кривизны оболочки; ρ — плотность материала оболочки; h— ее толщина; t— время.

В случае осевой симметрии при отсутствии внешних сил на боковой поверхности, принимая во внимание, что $k_x = 0$, $k_y = 1/R$, где R — радиус срединной поверхности оболочки, система уравнений (1) приводится к виду [3]:

$$\begin{cases}
\frac{\partial N_x}{\partial x} = \rho h \frac{\partial^2 u}{\partial t^2}, \\
\frac{\partial Q_x}{\partial x} + \frac{1}{R} N_y = \rho h \frac{\partial^2 w}{\partial t^2}, \\
\frac{\partial M_x}{\partial x} - Q_x = \rho \frac{h^3}{12} \frac{\partial^2 \psi_x}{\partial t^2}.
\end{cases} (2)$$

Чтобы замкнуть систему уравнений (2), нужно записать выражения для искомых величин N_x , N_y , Q_x , M_x через неизвестные u, w, ψ_x и добавить эти выражения к исходной системе. Это несложно сделать, если учесть тот факт, что величины N_x , N_y , Q_x , M_x могут быть выражены через компоненты тензора деформаций, а те, в свою очередь, через u, w, ψ_x (материал оболочки считается линейно упругим, то есть для него справедлив закон

Гука). Имеем [2]:

$$N_{x} = \frac{Eh}{1 - v^{2}} \left(\varepsilon_{x} + v \varepsilon_{y} \right), \qquad N_{y} = \frac{Eh}{1 - v^{2}} \left(\varepsilon_{y} + v \varepsilon_{x} \right),$$

$$M_{x} = \frac{Eh^{3}}{12 \left(1 - v^{2} \right)} \left(\varepsilon_{x}^{*} + v \varepsilon_{y}^{*} \right), \qquad Q_{x} = k^{2} \frac{Eh}{2 \left(1 + v \right)} \beta_{x}.$$

При этом $\varepsilon_x = \frac{\partial u}{\partial x}$, $\varepsilon_y = \frac{w}{R}$ — деформации в срединной поверхности оболочки, $\varepsilon_x^* = \frac{\partial \psi_x}{\partial x}$, $\varepsilon_y^* = \frac{\partial \psi_y}{y} = 0$ — деформации изгиба, отнесенные к координате x, $\beta_x = \psi_x + \frac{\partial w}{\partial x}$ — деформация сдвига, E — модуль Юнга, v — коэффициент Пуассона. Коэффициент k характеризует распределение касательных напряжений по толщине оболочки. В соответствии с [3] для рассматриваемой задачи принято $k^2 = 1$. На основании вышеизложенного искомые величины выразятся так:

$$N_{x} = \frac{Eh}{1 - v^{2}} \left(\frac{\partial u}{\partial x} + \frac{v}{R} w \right), \quad N_{y} = \frac{Eh}{1 - v^{2}} \left(v \frac{\partial u}{\partial x} + \frac{1}{R} w \right),$$

$$M_{x} = \frac{Eh^{3}}{12 \left(1 - v^{2} \right)} \frac{\partial \psi_{x}}{\partial x}, \qquad Q_{x} = \frac{Eh}{2 \left(1 + v \right)} \left(\frac{\partial w}{\partial x} + \psi_{x} \right).$$
(3)

Появившиеся здесь множители $D_N = \frac{Eh}{1-v^2}$ и $D_M = \frac{Eh^3}{12(1-v^2)}$ называются соответственно цилиндрической жесткостью растяжения и цилиндрической жесткостью изгиба оболочки.

Если подставить выражения (3) в исходную систему (2), получим систему уравнений в перемещениях, описывающую распространение упругих волн в цилиндрической оболочке [2]. Но нам в дальнейшем будет удобнее рассматривать эти семь уравнений (2), (3) совместно, не выполняя такой подстановки.

Начальные условия для поставленной задачи можно сформулировать в следующем виде:

$$u(x,0) = w(x,0) = \psi_x(x,0) = \frac{\partial u(x,0)}{\partial t} = \frac{\partial w(x,0)}{\partial t} = \frac{\partial \psi_x(x,0)}{\partial t} = 0,$$

граничное условие, описывающее приложенную продольную импульсную силовую нагрузку F(t) на торце x=0:

$$N_{x|_{x=0}} = F(t),$$

остальные граничные условия:

$$M_x|_{x=0} = Q_x|_{x=0} = N_x|_{x=l} = M_x|_{x=l} = Q_x|_{x=l} = 0.$$

Введем безразмерные величины: $\bar{N}_x = \frac{N_x}{D_N}$, $\bar{N}_y = \frac{N_y}{D_N}$, $\bar{M}_x = \frac{M_x R}{D_M}$, $\bar{Q}_x = \frac{Q_x}{D_N b}$, где $b = \frac{1-v}{2}$, $\bar{x} = \frac{x}{R}$, $\bar{u} = \frac{u}{R}$, $\bar{w} = \frac{w}{R}$, $\bar{t} = \frac{t}{R} C_0$, где $C_0 = \sqrt{\frac{E}{\rho(1-v^2)}}$ — скорость распространения упругих продольных волн в материале оболочки. Безразмерная протяженность оболочки полагается равной $\bar{l} = \frac{l}{R}$, а безразмерная функция нагружения— $f(t) = \frac{F(t)}{D_N}$. Тогда, чтобы удовлетворить поставленному

ограничению о рассматриваемом временном диапазоне, нужно потребовать выполнения неравенства $\bar{t} < \bar{l}$.

Далее будем опускать знак черты над безразмерными величинами. Тогда начально-краевая задача в безразмерных переменных примет вид:

$$\begin{cases}
\frac{\partial^{2} u}{\partial t^{2}} = \frac{\partial N_{x}}{\partial x}, \\
\frac{\partial^{2} w}{\partial t^{2}} = b \frac{\partial Q_{x}}{\partial x} + N_{y}, \\
\frac{\partial^{2} \psi_{x}}{\partial t^{2}} = \frac{\partial M_{x}}{\partial x} - \frac{b}{a^{2}} Q_{x}, \\
N_{x} = \frac{\partial u}{\partial x} + vw, \\
N_{y} = v \frac{\partial u}{\partial x} + w, \\
M_{x} = \frac{\partial \psi_{x}}{\partial x}, \\
Q_{x} = \frac{\partial w}{\partial x} + \psi_{x},
\end{cases} (4)$$

$$u(x,0) = w(x,0) = \psi_x(x,0) = \frac{\partial u(x,0)}{\partial t} = \frac{\partial w(x,0)}{\partial t} = \frac{\partial \psi_x(x,0)}{\partial t} = 0, \quad (5)$$

$$N_x|_{x=0} = f(t), M_x|_{x=0} = Q_x|_{x=0} = N_x|_{x=l} = M_x|_{x=l} = Q_x|_{x=l} = 0,$$
 (6)

где введено обозначение $a^2 = \frac{h^2}{12R^2}$. Функцию нагружения примем равной

$$f(t) = \begin{cases} 0, & t < 0, \\ Ate^{-pt}, & t \geqslant 0. \end{cases}$$

Здесь A>0 и p>0— константы, определяющие пиковое значение нагрузки и скорость ее затухания соответственно.

2. Построение асимптотической системы уравнений

В системе (4) можно исключить одно уравнение, выражая, например, N_y через N_x :

$$N_{v} = v (N_{x} - vw) + w.$$

Таким образом получим:

$$\begin{cases}
\frac{\partial^{2} u}{\partial t^{2}} = \frac{\partial N_{x}}{\partial x}, & N_{x} = \frac{\partial u}{\partial x} + vw, \\
\frac{\partial^{2} w}{\partial t^{2}} = b \frac{\partial Q_{x}}{\partial x} + vN_{x} + (1 - v^{2})w, & M_{x} = \frac{\partial \psi_{x}}{\partial x}, \\
\frac{\partial^{2} \psi_{x}}{\partial t^{2}} = \frac{\partial M_{x}}{\partial x} - \frac{b}{a^{2}}Q_{x}, & Q_{x} = \frac{\partial w}{\partial x} + \psi_{x}.
\end{cases}$$
(1)

Преобразуем систему (1), вычислив частные производные по времени от левых и правых частей тех уравнений, в которые такие производные

не входят. Вводя новые переменные

$$\frac{\partial u}{\partial t} = U, \quad \frac{\partial w}{\partial t} = W, \quad \frac{\partial \psi_x}{\partial t} = \Psi,$$

приходим к системе уравнений:

$$\begin{cases}
\frac{\partial U}{\partial t} - \frac{\partial N_x}{\partial x} = 0, \\
\frac{\partial W}{\partial t} - b \frac{\partial Q_x}{\partial x} - v N_x - (1 - v^2) w = 0, \\
\frac{\partial \Psi}{\partial t} - \frac{\partial M_x}{\partial x} + \frac{b}{a^2} Q_x = 0, \\
\frac{\partial N_x}{\partial t} - \frac{\partial U}{\partial x} - v W = 0, \\
\frac{\partial Q_x}{\partial t} - \frac{\partial W}{\partial x} - \Psi = 0, \\
\frac{\partial M_x}{\partial t} - \frac{\partial \Psi}{\partial x} = 0, \\
\frac{\partial W}{\partial t} - W = 0.
\end{cases} \tag{2}$$

Теперь мы можем записать полученную систему в форме матричного уравнения:

$$\frac{\partial \mathbf{X}}{\partial t} + \mathbf{C} \frac{\partial \mathbf{X}}{\partial r} + \mathbf{D} \mathbf{X} = 0, \tag{3}$$

где $\mathbf{X} = (U, W, \Psi, N_x, Q_x, M_x, w)$ — вектор неизвестных, а ненулевые элементы c_{ij} и d_{ij} матриц \mathbf{C} и \mathbf{D} будут иметь следующие значения: $c_{14} = -1$, $c_{25} = -b$, $c_{36} = -1$, $c_{41} = -1$, $c_{52} = -1$, $c_{63} = -1$, $d_{24} = -v$, $d_{27} = v^2 - 1$, $d_{35} = \frac{b}{a^2}$, $d_{42} = -v$, $d_{53} = -1$, $d_{72} = -1$.

С целью дальнейшего упрощения системы уравнений (2) преобразуем матрицу \mathbf{C} к диагональной форме. Известно, что матрица $\mathbf{Z}^{-1}\mathbf{C}\mathbf{Z}$ будет диагональной, если матрица \mathbf{Z} составлена из собственных векторов матрицы \mathbf{C} . Поэтому в матричном уравнении (3) сделаем замену переменной $\mathbf{X} = \mathbf{Z}\mathbf{Y}$, где \mathbf{Y} —новый вектор неизвестных, и умножим его на \mathbf{Z}^{-1} слева. Тогда матричное уравнение (3) запишется таким образом:

$$\mathbf{Z}^{-1}\mathbf{Z}\frac{\partial \mathbf{Y}}{\partial t} + \mathbf{Z}^{-1}\mathbf{C}\mathbf{Z}\frac{\partial \mathbf{Y}}{\partial x} + \mathbf{Z}^{-1}\mathbf{D}\mathbf{Z}\mathbf{Y} = 0$$

или

$$\frac{\partial \mathbf{Y}}{\partial t} + \mathbf{Z}^{-1} \mathbf{C} \mathbf{Z} \frac{\partial \mathbf{Y}}{\partial x} + \mathbf{Z}^{-1} \mathbf{D} \mathbf{Z} \mathbf{Y} = 0. \tag{4}$$

Вид матрицы **Z**, столбцами которой являются найденные собственные векторы, зависит от порядка, в котором эти векторы используются при записи матрицы. Во избежание неопределенности примем такой порядок,

когда матрица Z имеет следующий вид:

$$\mathbf{Z} = \begin{pmatrix} 1 & -1 & 0 & 0 & 0 & 0 & 0 \\ 0 & 0 & \sqrt{b} & -\sqrt{b} & 0 & 0 & 0 \\ 0 & 0 & 0 & 0 & 1 & -1 & 0 \\ 1 & 1 & 0 & 0 & 0 & 0 & 0 \\ 0 & 0 & 1 & 1 & 0 & 0 & 0 \\ 0 & 0 & 0 & 0 & 1 & 1 & 0 \\ 0 & 0 & 0 & 0 & 0 & 0 & 1 \end{pmatrix}.$$

Тогда обратная к Z матрица запишется в форме:

$$\mathbf{Z}^{-1} = \begin{pmatrix} \frac{1}{2} & 0 & 0 & \frac{1}{2} & 0 & 0 & 0 \\ -\frac{1}{2} & 0 & 0 & \frac{1}{2} & 0 & 0 & 0 \\ 0 & \frac{1}{2\sqrt{b}} & 0 & 0 & \frac{1}{2} & 0 & 0 \\ 0 & -\frac{1}{2\sqrt{b}} & 0 & 0 & \frac{1}{2} & 0 & 0 \\ 0 & 0 & \frac{1}{2} & 0 & 0 & \frac{1}{2} & 0 \\ 0 & 0 & -\frac{1}{2} & 0 & 0 & \frac{1}{2} & 0 \\ 0 & 0 & 0 & 0 & 0 & 0 & 1 \end{pmatrix}.$$

Ненулевые элементы λ_{ij} матрицы $\mathbf{Z}^{-1}\mathbf{C}\mathbf{Z}$ совпадают с собственными числами матрицы \mathbf{C} и при оговоренном порядке следования собственных векторов, используемом для записи матрицы \mathbf{Z} , имеют следующие значения: $\lambda_{11} = -1$, $\lambda_{22} = 1$, $\lambda_{33} = -\sqrt{b}$, $\lambda_{44} = \sqrt{b}$, $\lambda_{55} = -1$, $\lambda_{66} = 1$. Матрица $\mathbf{Z}^{-1}\mathbf{D}\mathbf{Z}$, также входящая в уравнение (4), примет вид:

$$\mathbf{Z}^{-1}\mathbf{D}\mathbf{Z} = \begin{pmatrix} 0 & 0 & -\frac{v\sqrt{b}}{2} & \frac{v\sqrt{b}}{2} & 0 & 0 & 0\\ 0 & 0 & -\frac{v\sqrt{b}}{2} & \frac{v\sqrt{b}}{2} & 0 & 0 & 0\\ -\frac{v}{2\sqrt{b}} & -\frac{v}{2\sqrt{b}} & 0 & 0 & -\frac{1}{2} & \frac{1}{2} & \frac{v^2 - 1}{2\sqrt{b}}\\ \frac{v}{2\sqrt{b}} & \frac{v}{2\sqrt{b}} & 0 & 0 & -\frac{1}{2} & \frac{1}{2} & -\frac{v^2 - 1}{2\sqrt{b}}\\ 0 & 0 & \frac{b}{2a^2} & \frac{b}{2a^2} & 0 & 0 & 0\\ 0 & 0 & -\frac{b}{2a^2} & -\frac{b}{2a^2} & 0 & 0 & 0\\ 0 & 0 & -\sqrt{b} & \sqrt{b} & 0 & 0 & 0 \end{pmatrix}.$$

В таком случае, согласно произведенной ранее замене переменных

(X = ZY), справедливы соотношения:

$$\begin{cases}
U = y_1 - y_2, & W = \sqrt{b}(y_3 - y_4), \\
\Psi = y_5 - y_6, & N_x = y_1 + y_2, \\
Q_x = y_3 + y_4, & M_x = y_5 + y_6, & w = y_7.
\end{cases} (5)$$

Переходя от матричной записи обратно к системе уравнений, получим каноническую форму системы (2):

$$\begin{cases}
\frac{\partial y_1}{\partial t} - \frac{\partial y_1}{\partial x} - \frac{v\sqrt{b}}{2}(y_3 - y_4) = 0, \\
\frac{\partial y_2}{\partial t} + \frac{\partial y_2}{\partial x} - \frac{v\sqrt{b}}{2}(y_3 - y_4) = 0, \\
\frac{\partial y_3}{\partial t} - \sqrt{b}\frac{\partial y_3}{\partial x} - \frac{v}{2\sqrt{b}}(y_1 + y_2) - \frac{1}{2}(y_5 - y_6) + \frac{v^2 - 1}{2\sqrt{b}}y_7 = 0, \\
\frac{\partial y_4}{\partial t} + \sqrt{b}\frac{\partial y_4}{\partial x} + \frac{v}{2\sqrt{b}}(y_1 + y_2) - \frac{1}{2}(y_5 - y_6) - \frac{v^2 - 1}{2\sqrt{b}}y_7 = 0, \\
\frac{\partial y_5}{\partial t} - \frac{\partial y_5}{\partial x} + \frac{b}{2a^2}(y_3 + y_4) = 0, \\
\frac{\partial y_6}{\partial t} + \frac{\partial y_6}{\partial x} - \frac{b}{2a^2}(y_3 + y_4) = 0, \\
\frac{\partial y_7}{\partial t} - \sqrt{b}(y_3 - y_4) = 0.
\end{cases} (6)$$

Для решения этой системы воспользуемся интегральным преобразованием Лапласа по времени. Как известно, преобразование Лапласа осуществляется по формуле

$$\tilde{g}(x,s) = \int_{0}^{\infty} e^{-st} g(x,t) dt,$$

где g(x,t) — функция-оригинал, $\tilde{g}(x,s)$ — функция-образ, а s — параметр преобразования.

Используя операционные свойства преобразования Лапласа [1], предполагая достаточную гладкость решения и принимая во внимание соотношения (5), начальные условия (5) и граничные условия (6), преобразуем си-

стему уравнений (6) к виду:

$$\begin{cases} s\tilde{y}_{1} - \frac{d\tilde{y}_{1}}{dx} - \frac{v\sqrt{b}}{2}(\tilde{y}_{3} - \tilde{y}_{4}) = 0, \\ s\tilde{y}_{2} + \frac{d\tilde{y}_{2}}{dx} - \frac{v\sqrt{b}}{2}(\tilde{y}_{3} - \tilde{y}_{4}) = 0, \\ s\tilde{y}_{3} - \sqrt{b}\frac{d\tilde{y}_{3}}{dx} - \frac{v}{2\sqrt{b}}(\tilde{y}_{1} + \tilde{y}_{2}) - \frac{1}{2}(\tilde{y}_{5} - \tilde{y}_{6}) + \frac{v^{2} - 1}{2\sqrt{b}}\tilde{y}_{7} = 0, \\ s\tilde{y}_{4} + \sqrt{b}\frac{d\tilde{y}_{4}}{dx} + \frac{v}{2\sqrt{b}}(\tilde{y}_{1} + \tilde{y}_{2}) - \frac{1}{2}(\tilde{y}_{5} - \tilde{y}_{6}) - \frac{v^{2} - 1}{2\sqrt{b}}\tilde{y}_{7} = 0, \\ s\tilde{y}_{5} - \frac{d\tilde{y}_{5}}{dx} + \frac{b}{2a^{2}}(\tilde{y}_{3} + \tilde{y}_{4}) = 0, \\ s\tilde{y}_{6} + \frac{d\tilde{y}_{6}}{dx} - \frac{b}{2a^{2}}(\tilde{y}_{3} + \tilde{y}_{4}) = 0, \\ s\tilde{y}_{7} - \sqrt{b}(\tilde{y}_{3} - \tilde{y}_{4}) = 0. \end{cases}$$

$$(7)$$

Согласно теореме о предельных значениях оригинала и изображения (теорема Абеля), имеет место равенство:

$$\lim_{t\to 0} g(x,t) = \lim_{s\to \infty} s\tilde{g}(s,t).$$

Применительно к рассматриваемой задаче это означает, что при достаточно малых значениях времени t параметр преобразования s будет принимать сколь угодно большие значения. Поэтому в ходе получения приближенного решения, предназначенного для оценки искомых величин именно при малых значениях времени, будем пренебрегать слагаемыми высших порядков малости при $s \to \infty$.

Из последней системы имеем:

$$\begin{cases} \tilde{y}_{1} = \frac{1}{s} \left[\frac{d\tilde{y}_{1}}{dx} + \frac{v\sqrt{b}}{2} (\tilde{y}_{3} - \tilde{y}_{4}) \right], \\ \tilde{y}_{2} = \frac{1}{s} \left[-\frac{d\tilde{y}_{2}}{dx} + \frac{v\sqrt{b}}{2} (\tilde{y}_{3} - \tilde{y}_{4}) \right], \\ \tilde{y}_{3} = \frac{1}{s} \left[\sqrt{b} \frac{d\tilde{y}_{3}}{dx} + \frac{v}{2\sqrt{b}} (\tilde{y}_{1} + \tilde{y}_{2}) + \frac{1}{2} (\tilde{y}_{5} - \tilde{y}_{6}) + \frac{1 - v^{2}}{2\sqrt{b}} \tilde{y}_{7} \right], \\ \tilde{y}_{4} = \frac{1}{s} \left[-\sqrt{b} \frac{d\tilde{y}_{4}}{dx} - \frac{v}{2\sqrt{b}} (\tilde{y}_{1} + \tilde{y}_{2}) + \frac{1}{2} (\tilde{y}_{5} - \tilde{y}_{6}) - \frac{1 - v^{2}}{2\sqrt{b}} \tilde{y}_{7} \right], \\ \tilde{y}_{5} = \frac{1}{s} \left[\frac{d\tilde{y}_{5}}{dx} - \frac{b}{2a^{2}} (\tilde{y}_{3} + \tilde{y}_{4}) \right], \\ \tilde{y}_{6} = \frac{1}{s} \left[-\frac{d\tilde{y}_{6}}{dx} + \frac{b}{2a^{2}} (\tilde{y}_{3} + \tilde{y}_{4}) \right], \\ \tilde{y}_{7} = \frac{\sqrt{b}}{s} (\tilde{y}_{3} - \tilde{y}_{4}). \end{cases}$$

Таким образом, величины \tilde{y}_i являются величинами порядка $\frac{1}{s}$. Тогда, отбрасывая в уравнениях системы слагаемые порядка $\frac{1}{s^2}$, приближенно можно

записать:

$$\begin{cases} \frac{d\tilde{y}_{1}}{dx} - s\tilde{y}_{1} = 0, & \frac{d\tilde{y}_{2}}{dx} + s\tilde{y}_{2} = 0, \\ \sqrt{b}\frac{d\tilde{y}_{3}}{dx} - s\tilde{y}_{3} = 0, & \sqrt{b}\frac{d\tilde{y}_{4}}{dx} + s\tilde{y}_{4} = 0, \\ \frac{d\tilde{y}_{5}}{dx} - s\tilde{y}_{5} = 0, & \frac{d\tilde{y}_{6}}{dx} + s\tilde{y}_{6} = 0, & \tilde{y}_{7} = 0. \end{cases}$$
(8)

3. Результирующие соотношения

Нетрудно видеть, что решением системы (8) будут служить величины:

$$\begin{cases} \tilde{y}_1 = c_1 e^{sx}, & \tilde{y}_2 = c_2 e^{-sx}, & \tilde{y}_3 = c_3 e^{\frac{s}{\sqrt{b}}x}, \\ \tilde{y}_4 = c_4 e^{-\frac{s}{\sqrt{b}}x}, & \tilde{y}_5 = c_5 e^{sx}, & \tilde{y}_6 = c_6 e^{-sx}, & \tilde{y}_7 = 0. \end{cases}$$

Следовательно, образы искомых величин \tilde{N}_x , \tilde{Q}_x и \tilde{M}_x , согласно (5), выразятся так:

$$\tilde{N}_{x} = \tilde{y}_{1} + \tilde{y}_{2} = c_{1}e^{sx} + c_{2}e^{-sx},$$

$$\tilde{Q}_{x} = \tilde{y}_{3} + \tilde{y}_{4} = c_{3}e^{\frac{s}{\sqrt{b}}x} + c_{4}e^{-\frac{s}{\sqrt{b}}x},$$

$$\tilde{M}_{x} = \tilde{y}_{5} + \tilde{y}_{6} = c_{5}e^{sx} + c_{6}e^{-sx}.$$

Неизвестные константы c_i определяются подстановкой в полученные формулы граничных условий (6) и, следовательно, должны удовлетворять системе уравнений:

$$\begin{cases} c_1 + c_2 = \tilde{f}(s), & c_3 + c_4 = 0, \\ c_1 e^{sl} + c_2 e^{-sl} = 0, & c_3 e^{\frac{s}{\sqrt{b}}l} + c_4 e^{-\frac{s}{\sqrt{b}}l} = 0, & c_5 e^{sl} + c_6 e^{-sl} = 0. \end{cases}$$
(1)

Решение системы (1) имеет следующий вид:

$$\begin{cases} c_1 = -\frac{\tilde{f}(s) e^{-sl}}{2 \operatorname{sh} sl}, & c_2 = \frac{\tilde{f}(s) e^{sl}}{2 \operatorname{sh} sl}, & c_3 = 0, \\ c_4 = 0, & c_5 = 0, & c_6 = 0. \end{cases}$$

После подстановки найденных значений c_i в выражения для образов получим:

$$\tilde{N}_x = -\frac{\tilde{f}(s) e^{-sl}}{2 \operatorname{sh} sl} e^{sx} + \frac{\tilde{f}(s) e^{sl}}{2 \operatorname{sh} sl} e^{-sx}, \qquad \tilde{Q}_x = 0, \qquad \tilde{M}_x = 0.$$

Для получения результирующего выражения для N_x осталось только выполнить обратное преобразование Лапласа. Известно, что в общем случае оно может быть выполнено численными методами. Однако в данной задаче удается получить аналитическое выражение для продольного усилия, что делает ненужным использование численных методов.

Преобразуем выражение для \tilde{N}_x :

$$\tilde{N}_x = \frac{\tilde{f}(s)}{2 \operatorname{sh} sl} \left(e^{s(l-x)} - e^{-s(l-x)} \right) = \tilde{f}(s) \frac{e^{s(l-x)} - e^{-s(l-x)}}{e^{sl} - e^{-sl}} = \tilde{f}(s) \frac{e^{s(l-x)} - e^{-s(l-x)}}{e^{sl} \left(1 - e^{-2sl} \right)}.$$

Разложим множитель $(1 - e^{-2sl})^{-1}$ в биномиальный ряд. Как известно, такой ряд абсолютно сходится при $-1 < -e^{-2sl} < 1$. В данном случае это условие выполняется, так как решение строится в предположении, что $s \to \infty$. Получим:

$$(1 - e^{-2sl})^{-1} = 1 + (-1)(-e^{-2sl}) + \frac{(-1)(-2)(-e^{-2sl})^2}{2!} + \dots =$$

$$= 1 + e^{-2sl} + e^{-4sl} + \dots = \sum_{n=0}^{\infty} e^{-2nsl}.$$

Тогда

$$\tilde{N}_{x} = \tilde{f}(s) \frac{e^{s(l-x)} - e^{-s(l-x)}}{e^{sl}} \sum_{n=0}^{\infty} e^{-2nsl} = \tilde{f}(s) \left(\sum_{n=0}^{\infty} e^{-s(2nl+x)} - \sum_{n=0}^{\infty} e^{-s(2l(n+1)-x)} \right).$$

Окончательно будем иметь:

$$\tilde{N}_x = \tilde{f}(s) \left(\sum_{n=0}^{\infty} e^{-s(2nl+x)} - \sum_{n=1}^{\infty} e^{-s(2nl-x)} \right).$$

Следует отметить, что рассматриваемая функция нагружения f(t) удовлетворяет определению оригинала некоторого преобразования Лапласа, так как она равна нулю при отрицательных значениях аргумента, непрерывна и имеет ограниченный показательный рост.

Введем в рассмотрение функцию Хевисайда

$$\eta(t) = \begin{cases} 0, & t < 0, \\ 1, & t \geqslant 0. \end{cases}$$

Очевидно, что в дальнейшем вместо функции нагружения f(t) можно использовать функцию $f_{\eta}(t) = f(t) \eta(t)$.

Применив к функции $f_{\eta}(t)$ теорему запаздывания [1], получим:

$$\tilde{f}(s) = f(t) \eta(t) \Rightarrow \tilde{f}(s) e^{-as} = f(t-a) \eta(t-a)$$

то есть безразмерное усилие выразится через безразмерную протяженность оболочки:

$$N_x(x,t) = \sum_{n=0}^{\infty} f(t - 2nl - x) \eta(t - 2nl - x) - \sum_{n=1}^{\infty} f(t - 2nl + x) \eta(t - 2nl + x).$$

Формула (2) является окончательной формулой, применяемой для расчета нормального усилия $N_x(x,t)$. По причине вхождения функции Хевисайда в качестве сомножителя в слагаемые рядов, составляющих данную формулу, все такие слагаемые, начиная с некоторого номера, будут равны нулю. Следовательно, суммы этих рядов находятся точным образом за конечное число операций сложения, что повышает эффективность расчетов.

Таким образом, в ходе проведенных расчетов удалось получить в аналитическом виде приближенное выражение для продольного усилия в задаче

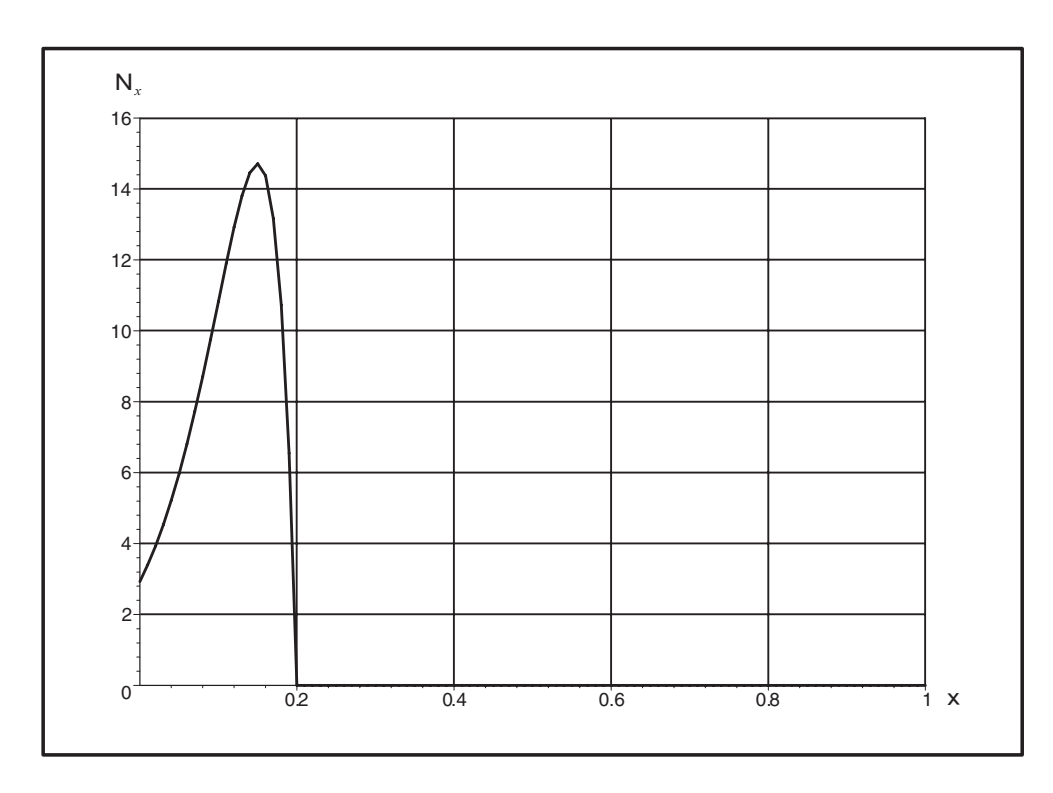


Рис. 2. Распределение безразмерного продольного усилия при t=0,2

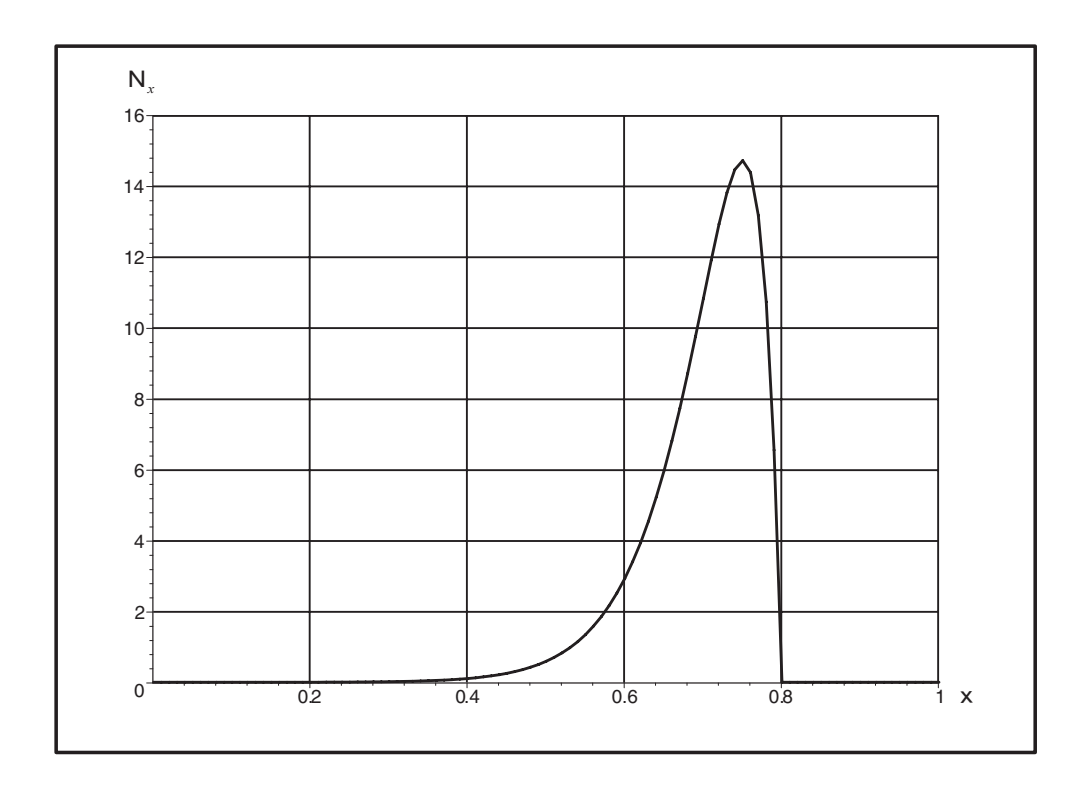


Рис. 3. Распределение безразмерного продольного усилия при t=0,8

о пологой цилиндрической оболочке, испытывающей нагрузку ударного типа. На рис. 2 и 3 приведены графики распределения продольного усилия по длине оболочки при значениях безразмерных констант A=800 и p=-20 для двух различных моментов времени.

Автор выражает благодарность С.А. Лычеву за постоянное внимание к работе.

Литература

- [1] Волков И.К., Канатников А.Н. Интегральные преобразования и операционное исчисление. М.: МГТУ им. Баумана, 1999. 228 с.
- [2] Вольмир А.С. Нелинейная динамика пластинок и оболочек. М.: Наука, 1972. 432 с.
- [3] Нетребко А.В., Новотный С.В., Созоненко Ю.А. Некоторые задачи динамики цилиндрических оболочек. М.: Институт механики МГУ, 1998. 89 с.

Поступила в редакцию 29/IX/2004; в окончательном варианте -29/IX/2004.

AN ASYMPTOTIC METHOD FOR SOLVING PROBLEMS OF DYNAMIC ELASTICITY³

© 2004 A.G. Zhigalin⁴

In the paper the asymptotic method for solving dynamic problems from the elasticity theory is given. A sample problem for a flat cylindrical shell is considered. The proposed method in comparison with other numerical procedures allows to reduce the time of computation especially for a dynamic problems for thin shells.

Paper received 29/IX/2004. Paper accepted 29/IX/2004.

³Communicated by Dr. Sci. (Phys. & Math.) Prof. Y.N. Radaev.

⁴Zhigalin Alexandr Grigoryevich, Dept. of Mathematical Modelling in Mechanics, Samara State University, Samara, 443011, Russia.